

**УЧЕТ ФИЗИКО-МЕХАНИЧЕСКИХ ХАРАКТЕРИСТИК  
КОМПОЗИЦИОННЫХ УГЛЕПЛАСТИКОВ, ВЛИЯЮЩИХ  
НА ПРОЦЕССЫ РАЗРУШЕНИЯ ПРИ РЕАЛИЗАЦИИ  
ТЕХНОЛОГИЧЕСКОГО ПРОЦЕССА МЕХАНИЧЕСКОЙ ОБРАБОТКИ  
И ЭКСТРЕМАЛЬНЫХ УСЛОВИЯХ ЭКСПЛУАТАЦИИ**

**THE PHYSICAL-MECHANICAL CHARACTERISTICS OF COMPOSITE  
PLASTICS INFLUENCE ON THE PROCESSES OF DESTRUCTION  
AT REALIZATION OF TECHNOLOGICAL PROCESS OF MACHINING  
AND EXTREME CONDITIONS**

*В статье рассмотрены вопросы разрушения композиционных углепластиков антифрикционного назначения, применяемых в качестве дейдвудных подшипников судовых валопроводов, опор скольжения центробежных насосов и паровых турбин.*

*In the article the questions of fracture of composite antifriction carbon fiber-reinforced plastics assignment used as sterntube bearings of ship shafting, bearings in centrifugal pumps and steam turbines.*

*Ключевые слова:* композиционный антифрикционный углепластик, опора скольжения, дейдвудный подшипник, валопровод, физико-механические характеристики, полимерная матрица, термореактивное связующее.

*Key words:* composite antifriction carbon fiber reinforced plastic, bearing slides, sterntube bearings, shaft line, physico-mechanical properties, polymer matrix, thermoreactive binder.

**Y**

ГЛЕПЛАСТИКИ — это композиционные материалы, в которых выгодно сочетаются свойства полимерной матрицы и углеродного армирующего материала. Матрица обеспечивает монолитность композита, фиксирует форму изделия и взаимное расположение армирующих волокон, распределает действующие внешние напряжения по объему композита, обеспечивая равномерную нагрузку на волокна и ее перераспределение при разрушении части армирующих волокон. В качестве матрицы используют эпоксидные, полиэфирные, фенолформальдегидные смолы, полиамиды, кремнийорганические полимеры (полимерные КУ), синтетические полимеры, подвергнутые пиролизу (коксовые КУ), и так называемый пиролитический углерод (пироуглеродные КУ) [1; 2]. В данной работе речь пойдет о композиционных материалах с термореактивной матрицей, основные свойства фенолформальдегидных и эпоксидных смол приведены в табл. 1. С увеличением предела прочности матрицы прочность композиционного материала увеличивается.

При соблюдении условий монолитности композиции матрица почти не влияет на коэффициенты распределения внешней нагрузки. Нарушение монолитности КУ возможно вследствие: уменьшения содержания в них связывающего компонента; увеличения степени наполнения ар-

мирующим материалом; пористости; изменения свойств матрицы и прочности сцепления ее с волокнами.

В процессе термического или естественного старения матрица утрачивает способность перераспределять нагрузки, возникающие от действия внешних сил между армирующими волокнами.

Армирующий материал воспринимает основные напряжения, возникающие в композите под действием внешних нагрузок, и обеспечивает жесткость и прочность композиции.

Таблица I

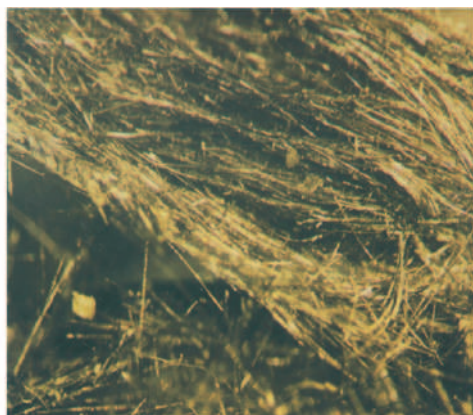
**Физико-механические свойства материала матрицы КУ**

Полимер	Условная плотность, кг/м <sup>3</sup>	Макс. рабочая температура, °C	Прочность*, МН/м <sup>2</sup>	
			при растяжении	при сжатии
Эпоксидная смола	90–220	110	—	1,0–2,5
Фенолформальдегидная смола К-40	190–230	120–130	2,0	0,8
Кремнийорганическая смола	200–400	250–300	0,6	0,8–14,0

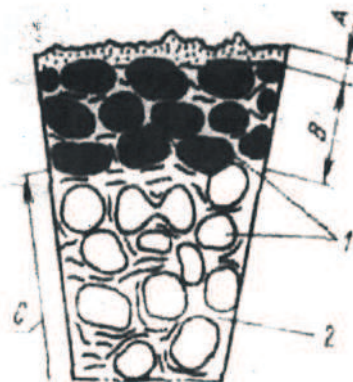
\* Под прочностью подразумевается максимальное напряжение, при котором материал разрушается.

В качестве армирующего материала используется угольное волокно, низкомодульное и высокомодульное (см. рис. 1) [3].

Установлено, что углеродные волокна микрогетерогенны и представляют собой пример са-моармированного композита, содержащего не менее двух фаз. Обе фазы состоят из фибрилл, с включениями турбостратных кристаллитов. Причем первая фаза состоит из более широких и толстых лент (фибрилл) поликонденсированного ароматического углерода с повышенной степенью продольной ориентации, а вторая — из более узких, менее ориентированных и сильно переплетенных лент [4, с. 86–93].



a



б

Rис. 1. a — микрофотография угольного волокна ( $\times 400$ ) [3]; б — структура углеродного волокна:

A — поверхностный слой; B — высокоориентированная зона;

C — низкоориентированная зона;

1 — микрофибриллы; 2 — аморфный углерод

Менее ориентированные узкие фибрillы присутствуют обычно в центральной части волокна — ядре, в то время как более совершенные широкие располагаются с внешней стороны — оболочки волокна. Кристаллиты служат своеобразной арматурой, удерживающей длинные ленты аморфной (по данным темнопольной просвечивающей электронной микроскопии и широкоугловой дифракции электронов) матрицы. Размеры лент значительно превышают размеры кристаллитов. Поэтому ленты являются проходными и участвуют в построении большого числа кристаллитов. Хотя поверхность волокна является наиболее ориентированной его частью, она содержит как выходящие на поверхность края кристаллитов, так и бездефектные основные атомные плоскости. Различие в свойствах углеродных волокон определяется различиями в структуре, обусловленной прежде всего температурой термообработки и операцией вытягивания при их получении. Граница раздела процессов карбонизации и графитации лежит в области температур термообработки 1500–1800 °C [1]. С повышением температуры термообработки повышается содержание углерода, закономерно увеличиваются термоокислительная устойчивость и электропроводность, теплопроводность, значительно возрастает модуль упругости, но прочность волокна, тканей и нитей на его основе снижается. С повышением температуры термообработки изменяется структура углеродного волокна, соотношение между аморфным и закристаллизованным углеродом, увеличиваются размеры кристаллитов, повышается степень ориентации кристаллитов относительно оси волокна.

Свойства армирующего материала приведены в табл. 2 [2].

Композиционные углепластики относятся к анизотропным материалам.

Таблица 2

#### Физико-механические свойства армирующего материала КУ

Свойства	Высокомодульное волокно	Низкомодульное волокно
Модуль упругости, ГПа	300–700	200–250
Прочность при растяжении, ГПа	2,0–2,5	2,5–3,2
Плотность, г/см <sup>3</sup>	1,3–2,0	1,3–2,0
Диаметр, мкм	5–50	5–50

Анизотропия свойств зависит от способа армирования, который определяет пространственное расположение армирующих волокон в матрице. Разработаны технологии и существуют различные способы армирования, различающиеся по виду содержания армирующего материала в матрице и пространственному направлению углеродных нитей, основные способы армирования приведены в табл. 3.

Содержание армирующего материала в композициях конструкционно выражается через коэффициент объемного содержания армирующего волокна в матрице  $V_a$ , равный отношению объемной доли армирующего волокна к общему объему композита. Значения данного коэффициента для композита, армированного непрерывными волокнами, составляют 0,3–0,8, а с хаотическим расположением дискретного волокна не превышают 0,2–0,3, что связано с технологическими трудностями плотной упаковки дискретных наполнителей. Механические характеристики композиционного материала зависят от содержания армирующего волокна в матрице  $V_a$ , физико-механических свойств материала в матрице и армирующего материала и удельной поверхности контакта данных компонентов.

Таблица 3

Способы армирования композиционного углепластика

Короткими волокнами	Непрерывным волокном	Непрерывным волокном	Три семейства нитей
Непрерывным волокном	Короткими волокнами	Тканью	$n$ семейств нитей
Хаотичное армирование	Одномерно армированные	Двухмерно армированные	Пространственное армированные

Модуль упругости  $E$  композиционного углепластика является одним из важнейших физико-механических характеристик, поэтому возникает необходимость исследования этой характеристики с учетом всех особенностей данного композита. На рис. 2 приведены зависимости [4] между напряжениями и деформациями при растяжении КУ с различной структурой армирования.

Наиболее высокие прочность и жесткость достигаются в КУ с взаимно параллельным расположением непрерывных волокон при нагружении их в направлении ориентации волокна.

Упругие характеристики в направлении главных осей симметрии — модули нормальной упругости  $E_x$  и  $E_y$ , коэффициенты Пуассона  $\nu_{xy}$   $\nu_{xz}$  и модули сдвига  $G_{xy}$ ,  $G_{xz}$  — можно вычислить с удовлетворяющей точностью по формулам [5; 6, с. 118–124]:

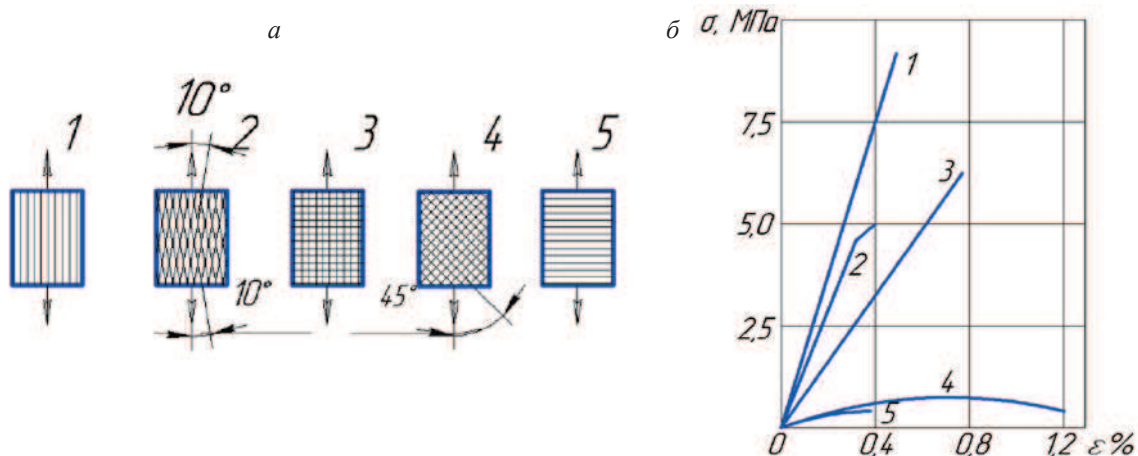


Рис. 2. Схема армирования композита (а),  
график зависимости между напряжениями и деформациями при растяжении (б):  
1 — 0°; 2 — ±10°; 3 — 0,90°; 4 — ±45°; 5 — 90°

$$E_x = E_a V_a; \quad (1)$$

$$E_y = E_z = \frac{E_m}{(1 - V_a)}; \quad (2)$$

$$\nu_{yx} = \nu_{xz} = \nu_a V_a + \nu_m (1 - \nu_a); \quad (3)$$

$$G_{xy} = G_{xz} = \frac{G_m (1 + V_a)}{(1 - V_a)}, \quad (4)$$

где  $E_a, E_m$  — модули нормальной упругости волокна и матрицы, МПа;  $\nu_a, \nu_m$  — коэффициенты Пуассона волокна и матрицы.

Регулирование степени анизотропии и свойств материалов в плоскости армирования достигается перекрестным расположением армирующих слоев. При ортогональной схеме укладки слоев прочность ( $\sigma_x, \sigma_y$ ) и модуль упругости ( $E_x, E_y$ ) пропорциональны объемному содержанию волокон в направлении армирования.

Деформативные (модуль Юнга, коэффициент Пуассона и модуль сдвига) свойства материалов с ортогональной укладкой при их нагружении под углом к основным осям упругой симметрии рассчитывают с использованием уравнений по известным значениям  $E_x, E_y, E_{45}$  и  $\nu_{xy}$ :

$$E_\phi = E_x \left( \cos^4 \phi + m \sin^2 2\phi + n \sin^4 \phi \right)^{-1}; \quad (5)$$

$$G_\phi = E_x \left[ 2\nu_{xy} + 4m - 4(2m - c) \sin^2 \phi \right]^{-1}, \quad (6)$$

где  $E_\phi$  — модуль Юнга при нагружении под углом  $\phi$  к основной оси  $ox$ ;

$E_{45}$  — модуль сдвига при нагружении под углом  $45^\circ$  к основной оси  $ox$ ;

$G_\phi$  — коэффициент Пуассона при нагружении под углом  $\phi$  к основной оси  $ox$ ;

$\nu_{xy}$  — коэффициент Пуассона при нагружении под углом  $\phi$  к основной оси  $ox$ .

$n, c, m$  — коэффициенты пропорциональности:

$$n = \frac{E_x}{E_y}; \quad c = \frac{E_x}{E_{45}}; \quad m = c - \frac{n-1}{4}. \quad (7)$$

Прочность при растяжении, сжатии, сдвиге в плоскости армирования также рассчитывают по аналогичным формулам, позволяющим вычислить прочность для любого направления на основании экспериментальных или расчетных значений прочности в продольном, поперечном и диагональном (под углом  $45^\circ$ ) направлениях.

Взаимодействие материала матрицы с поверхностью углеродного волокна зависит от адгезионной прочности взаимодействия полимерной матрицы и углеродного волокна [5], что оказывает непосредственное влияние на прочность связи компонентов композита, от которой существенно зависят такие характеристики композита, как продольная, поперечная и сдвиговая прочность, вязкость разрушения, модуль упругости, термостойкость и др. В табл. 4 [5] приведены значения адгезионной прочности ряда полимеров, используемых в качестве связующих для углепластиков и изделий из них при  $d = 9$  мкм,  $S = 6 \cdot 10^{-3}$  мм<sup>2</sup>.

Таблица 4

#### Адгезионная прочность связующей (материала матрицы)

Связующее	Адгезионная прочность, МПа	
	углеродное волокно	стеклянное волокно
Эпоксидиановое ЭДТ-10	41,5	40,0
Эпоксифенольное 5-211	41,0	41,0
Эпокситрифенольное ЭТФ	43,0	—
Эпоксидные алифатические		
УП-612	40,5	—
ДОДЦПД	43,0	—
Полиамидное СП-6	34,0	30,0

Для сравнения в табл. 4. приведены значения исследуемых полимеров при адгезии их к бесшарочному стеклянному волокну того же диаметра. Видно, что исследованные связующие обладают высокой адгезией к углеродным волокнам. Адгезионные прочности различных эпоксидных связующих близки между собой.

Теория межфазных явлений [2; 7, с. 31–39] в полимерных композиционных материалах может рассматриваться как совокупность трех основных частей — адсорбции полимеров на твердых поверхностях армирующего материала, адгезии полимеров к этим поверхностям и структуры и свойств межфазного слоя на границе раздела полимер–твердое тело. При этом МФС может в первом приближении рассматриваться как гомогенный, хотя анализ показывает, что его следует описывать как негомогенный материал. Этому слою А. В. Теокарис приписывает свойства независимой фазы, что удобно для расчетов, но некорректно с термодинамических позиций. Рассмотрение механического поведения системы может быть проведено на основе трехслойной (рис. 3) или N-слойной модели. В последнем случае межфазная область рассматривается как состоящая из N слоев с разными свойствами.

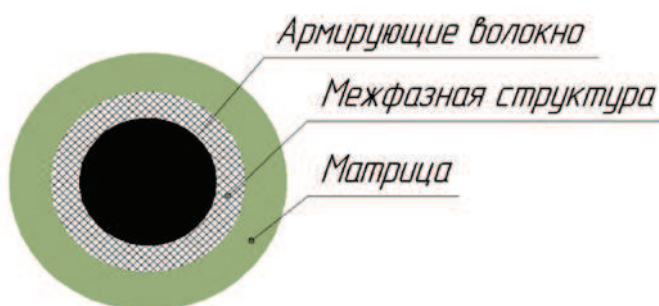


Рис. 3. Трехфазная модель строения композиционного материала

Оценка модуля упругости композита  $E$  выражается в данном случае соотношением, определяющим аддитивность [6] вклада волокна, матрицы и межфазного слоя:

$$E_{\kappa} = E_{a a a} + E_{i a i} + E_{m a m}, \quad (8)$$

где  $E_{a a a}$  — модуль Юнга армирующего материала и его объемная доля, МПа;  
 $E_{i a i}$  — модуль Юнга межфазного слоя и его объемная доля, МПа;  
 $E_{m a m}$  — модуль Юнга материала матрицы и его объемная доля, МПа.

Если рассматривать элемент наполненного полимера с цилиндрическим включением (волокна), то выражение имеет вид

$$E = E_a \left( r_a^2 / r_m^2 \right) + E_i \left[ \left( r_i^2 - r^2 \right) / r_m^2 \right] + E_m \left[ \left( r_m^2 - r_i^2 \right) \right], \quad (9)$$

где  $r_a$  — величина радиуса армирующего материала;  
 $r_i$  — величина радиуса межфазного слоя;  
 $r_m$  — величина радиуса матрицы;

Величина модуля упругости межфазного слоя также зависит от содержания наполнителя или радиуса волокна:

$$E_i(r) = E_m + E_f \left( r_f / r \right) \eta^1 - E_m \left( r_f / r \right) \eta^2. \quad (10)$$

Для граничных условий ( $r = r_i$ ) имеем

$$E_i(r_i) = E_m + E_a \left( r_a / r_i \right) \eta^1 - E_m \left( r_a / r_i \right) \eta^2. \quad (11)$$

В этих соотношениях экспоненты  $\eta^1$  и  $\eta^2$  являются характеристиками адгезии, определяющими передачу напряжений от матрицы к наполнителю.

Модуль нормальной упругости КУ, как говорилось выше, зависит от направления армирования, в работах [2; 3; 5] показана данная зависимость. На рис. 4 представлена схема строения углепластика, из которой видно, что углепластики являются ортотропными в осях, совпадающих с направлениями армирования (*1* — направление по основе (*x*), *2* — направление по утку (*y*), *3* — трансверсальное направление (*z*)). Соотношение количества волокон в основе и утке равно 10:8. Показатели механических свойств углепластиков в различных направлениях представлены в табл. 5.

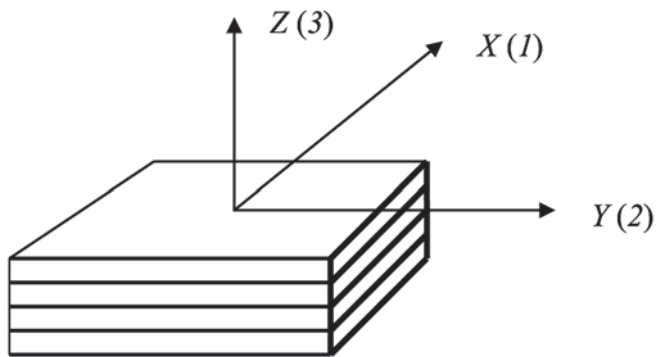


Рис. 4. Схема направлений армирований углепластика:

1 — направление вдоль основы армирующей ткани;  
2 — направление вдоль утка армирующей ткани;  
3 — направление, трансверсальное плоскости армирующей ткани

Пространственную анизотропию упругих и прочностных свойств углепластиков УГЭТ и ФУТ можно охарактеризовать значениями модулей нормальной упругости  $E_1, E_2, E_3$ , модуля сдвига в плоскости листа  $G_{1,2}$  и межслойных модулей сдвига  $G_{2,3}, G_{3,1}$ ; разрушающих напряжений при растяжении  $\sigma_1^+, \sigma_2^+, \sigma_3^+$  и сжатии  $\sigma_1^-, \sigma_2^-, \sigma_3^-$  и разрушающего напряжения при межслойном сдвиге  $\tau_{1,3}$  (табл. 5).

Таблица 5

#### Физико-механические свойства композиционных углепластиков

Свойства	ФУТ	УГЭТ
Модуль нормальной упругости, МПа, в плоскости листа по основе $E_1$	17 000	18 000
в плоскости листа по утку $E_2$	12 000	13 000
в трансверсальном направлении $E_3$	8000	8500
Модуль сдвига, МПа, в плоскости листа, $G_{1,2}$	6000	6700
Модуль сдвига, МПа, межслойный, $G_{1,3} = G_{2,3}$	4500	5000
Разрушающее напряжение при растяжении, МПа, в плоскости листа по основе $\sigma$	200	280
в плоскости листа по утку $\sigma$	160	240
в трансверсальном направлении $\sigma$	10	14
Разрушающее напряжение при сжатии, МПа, в плоскости листа по основе $\sigma$	200	300
в плоскости листа по утку $\sigma$	180	250
в трансверсальном направлении $\sigma$	300	400
Разрушающее напряжение при межслойном сдвиге, МПа, $\tau_{1,3}$	20	25

### Заключение

В соответствии с соотношением 10:8 все показатели упругости и прочности вдоль волокон основы в 1,3–1,4 раза больше, чем вдоль волокон утка. Разрушающее напряжение при растяжении в трансверсальном направлении в приблизительно 20 раз ниже, чем вдоль слоев ткани.

Поведение слоистого материала при сжатии существенно отличается от поведения при растяжении. В этом случае  $\sigma_3^-$  даже выше  $\sigma_1^-$  и  $\sigma_2^-$  — приблизительно в 1,5 раза.

Для углепластиков характерна значительная анизотропия теплофизических свойств — коэффициент теплопроводности в направлениях 1, 2 в 50 раз выше, чем в направлении 3:  $\lambda_1 \approx \lambda_2 = 38 \text{ Вт}/\text{м}\cdot\text{К}$ ,  $\lambda_3 = 0,7 \text{ Вт}/\text{м}\cdot\text{К}$ . Анизотропия теплофизических свойств объясняется значительным различием в теплопроводности полимерной матрицы и углеродных волокон.

Все вышеизложенное позволяет сделать главный вывод: при проектировании изделий из композиционных углепластиков антифрикционного назначения, а также реализации технологического процесса их механической обработки необходимо учитывать особенности исходной заготовки (плита — метод прессования; слои параллельно или навитая заготовка — слои радиально). Причем главным фактором, в технологической наследственности определяющим основные эксплуатационные характеристики опоры скольжения, является ориентация волокон по отношению к линии действия основных нагрузок в виде сил и моментов.

### Список литературы

1. Технологии производства изделий и интегрированных конструкций из композиционных материалов в машиностроении / науч. ред. А. Г. Братухин, А. С. Боголюбов, О. С. Сироткин. — М.: Готика, 2003. — 516 с.
2. Белецкий Е. Н. Обеспечение заданной точности и качества поверхности на операциях сверления антифрикционных углепластиков на основе результатов моделирования процесса резания: автореф. дис. ... канд. техн. наук: 05.02.07 / Е. Н. Белецкий. — Саратов. СГТУ, 2010. — 134 с.
3. Абозин И. Ю. Некоторые вопросы механической лезвийной обработки углепластиков / И. Ю. Абозин, В. М. Петров // Вопросы материаловедения: науч.-техн. журн. — 2001. — № 2 (26).
4. Полимерные композиты в триботехнике. Проблемы создания и применения. Опыт эксплуатации: докл. науч.-техн. семинара, 14–15 ноября 2000 г. — СПб.: ЦНИИ КМ «Прометей», 2000.
5. Гольденблат И. И. Критерии прочности конструкционных материалов / И. И. Гольденблат, В. А. Копнов. — М.: Машиностроение, 1968. — 192 с.
6. Маркин В. Б. Расчетная оценка вязкоупругих характеристик межфазных слоев и закономерности их влияния в полимерных композиционных материалах / В. Б. Маркин, Л. М. Аникеева, А. В. Тарасов // Композиты — в народное хозяйство России (Композит-95): тр. Междунар. науч.-техн. конф. — Барнаул: АлтГТУ им. И. И. Ползунова, 1995.
7. Армированные пластики — современные конструкционные материалы // Российский химический журнал. — 2001. — Т. XLV, № 2.